

Нижегородский научно-исследовательский радиофизический институт
Министерства науки, высшей школы и технической политики
Российской Федерации

П р е п р и н т № 351

ВЛИЯНИЕ ГРАВИТАЦИОННОЙ ВОЛНЫ В ОКЕАНЕ
НА ВОЗДЕЙСТВИЕ АТМОСФЕРНОЙ СЕЙСМОАКУСТИЧЕСКОЙ
И ДОННОЙ СЕЙСМИЧЕСКОЙ ПОВЕРХНОСТНЫХ ВОЛН
ПОДВОДНЫМ ИСТОЧНИКОМ

Л.А.Гасилова
Ю.В.Петухов

Нижний Новгород 1992

Гасилова Л.А., Петухов Ю.В.

ВЛИЯНИЕ ГРАВИТАЦИОННОЙ ВОЛНЫ В ОКЕАНЕ НА ВОЗБУЖДЕНИЕ
АТМОСФЕРНОЙ СЕЙСМОАКУСТИЧЕСКОЙ И ДОННОЙ СЕЙСМИЧЕСКОЙ
ПОВЕРХНОСТНЫХ ВОЛН ПОДВОДНЫМ ИСТОЧНИКОМ // Препринт № 351. -
- Нижний Новгород: НИРФИ, 1992. - 29 с.

УДК 531.596.1

Исследованы дисперсионные свойства поверхностных волн Стоунли-Шолтэ-Лэмба и Рэлея, распространяющихся в системе изотермическая атмосфера - океанический волновод, моделируемый слоем "тяжелой" сжимаемой жидкости, лежащим на однородном упругом полупространстве, и определены частотные зависимости их коэффициентов возбуждения для возмущения давления и скорости частиц среды в атмосфере при точечном подводном источнике массы. Показано, что учет гравитационной поверхностной волны в океане приводит, при определенных его глубинах и значениях скорости звука в воздухе, к пересечению частотной зависимости ее фазовой скорости с аналогичной зависимостью для атмосферной поверхностной волны Стоунли-Шолтэ-Лэмба на двух резонансных частотах, которым в коэффициентах возбуждения этих волн соответствуют узкие резонансные максимумы.

Выполненные в /1/ исследования дисперсионного уравнения для собственных решений системы изотермическая атмосфера - океанический волновод, моделируемый слоем сжимаемой жидкости, лежащим на однородном упругом полупространстве, позволил установить существование, во-первых, поверхностной волны Стоуна-Шолтэ-Лэмба лишь на частотах ниже определенной критической $\omega < \omega_{c_0}$ (см. (21), (21') в /1/), уменьшающейся с ростом глубины водного слоя и не обращаящейся в нуль даже в отсутствие влияния силы тяжести Земли, во-вторых, поверхностной волны Рэлея в области частот ниже пропорциональной ускорению свободного падения критической частоты $\omega < \omega_R$ (см. (19) в /2/). Было показано также (см./1/), что частотные зависимости коэффициентов возбуждения этих волн имеют по одному максимуму, обусловленному взаимным расположением корреспондирующих точек относительно поверхности океана. При исследовании же в /3/ дисперсионного уравнения для системы изотермическая атмосфера - "тяжелая" сжимаемая жидкость, моделирующая океан, было установлено, что существующая при $\omega < \omega_L$ по верхностная модифицированная волна Лэмба (см./2/) распространяется со сверхзвуковой скоростью на частотах ниже критической ω_L (см.(17) в /3/), но выше резонансной ω_p , и с звукоизвуковой (по отношению к воздуху) скоростью при $\omega < \omega_p$. Появляющаяся при учете влияния силы тяжести на динамику жидкости резонансная частота ω_p , на которой в коэффициентах возбуждения возникает по одному дополнительному резонансному максимуму, определяется отношением ускорения свободного падения к скорости звука в воздухе и соответствует пересечению частотных зависимостей фазовых и скоростей поверхностной модифицированной волны Лэмба и гидродинамической поверхностной волны.

Естественный интерес представляет изучение свойств поверхностных волн в наиболее реальной системе атмосфера - океанический волновод, учитываящей, по сравнению с /1/, влияние силы тяжести и на динамику водного слоя, а также - выяснение их возможных отличий от предсказываемых на основе простых моделей /1-3/. Именно поэтому настоящая работа посвящена исследование частотных зависимостей фазовых скоростей и коэффициентов возбуждения поверхностных волн в такой системе.

Рассмотрим, как и в /1/, изотермическую модель атмосферы с экспоненциально спадающей с ростом высоты $z \geq H$ плотностью воздуха $\rho_1(z) = \rho_0 \exp(-\gamma g (z - H)/c_1^2)$ и постоянными адиабатической скоростью звука C_1 , и показателем адиабаты γ , полагая, что начало цилиндрической системы координат z, r расположено на границе жидкого слоя с однородным упругим полупространством $z = 0$, а ось z направлена вертикально вверх. Здесь g - ускорение силы тяжести, $\rho_0 = \rho_1(z = H)$ - плотность воздуха на границе с жидкостью, H - глубина водного слоя, r - горизонтальное расстояние. Тогда линеаризованное уравнение для возмущения давления ρ'_1 в неподвижной атмосфере запишется, согласно /4/, в следующем виде:

$$\left\{ \left(\frac{\partial^2}{\partial t^2} + N_1^2 \right) \left(\frac{\partial^2}{C_1^2 \partial t^2} - \Delta_1 \right) - \frac{\partial^2}{\partial t^2} \left(\frac{\partial^2}{\partial z^2} + N_1^2 \right) \times \right. \\ \left. \times \left(\frac{\partial^2}{\partial z^2} - 2\Gamma_1 \frac{\partial}{\partial z} \right) \right\} \exp\left(\frac{gz}{C_1^2}\right) \rho'_1 = 0, \quad (I)$$

где $N_1^2 = (\gamma - 1) g^2 / C_1^2$ - квадрат частоты Брента-Вайсаля, $\Gamma_1 = (2 - \gamma) g / 2C_1^2$ - коэффициент Эккарта, t - время, $\Delta_1 = \frac{1}{r} \times \frac{\partial}{\partial r} \left(r \frac{\partial}{\partial r} \right)$.

Линеаризованное уравнение для возмущения давления ρ'_2 в сжимаемой "тяжелой" жидкости с постоянными при $0 \leq z \leq H$ значениями плотности ρ_2 и скорости звука C_2 , в которой при $r = 0$, $z = h$ расположен источник массы с произвольно зависящей от времени производительностью $Q(t) = \frac{1}{r} \delta(r) \delta(z - h) M(t)$, запишется в следующем виде:

$$\left\{ \left(\frac{\partial^2}{\partial t^2} + N_2^2 \right)^2 \left(\frac{\partial^2}{c_2^2 \partial t^2} - \Delta_1 \right) - \frac{\partial^2}{\partial t^2} \left(\frac{\partial^2}{\partial t^2} + N_2^2 \right) \times \right. \\ \left. \times \left(\frac{\partial^2}{\partial z^2} - 2\Gamma_2 \frac{\partial}{\partial z} \right) \right\} \exp\left(\frac{qz}{c_2^2}\right) p_2' = p_2 \exp\left(\frac{qz}{c_2^2}\right) \times \\ \times \left(\frac{\partial^2}{\partial t^2} + N_2^2 \right)^2 \frac{\delta(r) \delta(z-h)}{r} \frac{\partial M(t)}{\partial t}, \quad (2)$$

где $N_2^2 = -q^2/c_2^2$, $\Gamma_2 = q/c_2^2$, $M(t)$ – функция, моделирующая определенный физический процесс в источнике, $\delta(r)$ и $\delta(z-h)$ – дельта-функции. Необходимые для дальнейшего взаимосвязи возмущения давления p_j с соответствующими значениями вертикальной компоненты скорости смещения частиц в волне u_{jz} ($j=[1, 2]$) запишем в следующем виде /4/:

$$\frac{\partial^2}{\partial t \partial z} \exp\left(\frac{qz}{c_j^2}\right) p_j' + \left(\frac{\partial^2}{\partial t^2} + N_j^2 \right) p_j(z) \exp\left(\frac{qz}{c_j^2}\right) u_{jz} = 0. \quad (3)$$

При описании волновых процессов в однородном упругом полу-пространстве $z \leq 0$, моделирующем Землю, удобно воспользоваться уравнениями для потенциалов смещений продольных φ и сдвиговых ψ волн /5/

$$\frac{1}{c_p^2} \frac{\partial^2 \varphi}{\partial t^2} - \nabla^2 \varphi = 0, \quad \frac{1}{c_t^2} \frac{\partial^2 \psi}{\partial t^2} - \nabla^2 \psi = 0, \quad (4)$$

а также дифференциальными соотношениями для вертикальной компоненты смещения частиц \tilde{u}_z и соответствующих компонентов тензора напряжений σ_{zz} и σ_{zr} в упругой волне:

$$\tilde{u}_z = \frac{\partial \varphi}{\partial z} + \frac{1}{r} \frac{\partial}{\partial r} \left(-r \frac{\partial \psi}{\partial r} \right), \quad (5)$$

$$\sigma_{zz} = \lambda \nabla^2 \varphi + 2\mu \frac{\partial \tilde{u}_z}{\partial z},$$

$$\sigma_{zr} = \mu \frac{\partial}{\partial r} \left\{ \frac{\partial \varphi}{\partial z} + \frac{\partial^2 \psi}{\partial z^2} + \tilde{u}_z \right\}.$$

Здесь $C_r = \sqrt{(\lambda + 2\mu)/\rho_3}$, $C_t = \sqrt{\mu/\rho_3}$ — скорости продольных и сдвиговых волн в упругой среде с плотностью $\rho_3 = \text{const}$ и параметрами Ламэ λ и μ .

Для однозначного решения поставленной задачи необходимо учесть стандартные граничные условия, выражающие непрерывность нормальной компоненты скорости смещения частиц и полной производной по времени от суммарного давления или от соответствующих компонентов тензора напряжений в граничащих средах:

$$z=0: \sigma_{zr} = 0, \quad u_{2z} = \frac{\partial \tilde{u}_z}{\partial t}, \quad \frac{\partial \sigma_{zz}}{\partial t} = - \left(\frac{\partial p'_2}{\partial t} - p_2 \partial u_{2z} \right), \quad (6)$$

$$z=H: u_{1z} = u_{2z}, \quad \frac{\partial p'_1}{\partial t} - p_1 \partial u_{1z} = \frac{\partial p'_2}{\partial t} - p_2 \partial u_{2z}.$$

С использованием (I)–(6) для спектральных компонентов Фурье возмущения давления $\bar{p}_j(z, \omega)$ и скорости смещения частиц среды $\bar{u}_{jz}(z, \omega)$ в атмосфере ($j \leq H$, $j = I$) и океане ($0 \leq z \leq H$,

$$\bar{p}_j(z, \omega) = \int_{-\infty}^{\infty} p'(t) e^{-i\omega t} dt, \quad \bar{u}_{jz}(z, \omega) = \int_{-\infty}^{\infty} u_{jz}(t) e^{-i\omega t} dt$$

найдем следующие интегральные выражения

$$\bar{p}_1(\omega) = \frac{e^{-i\frac{\pi}{2}}}{2} \omega K_1 \bar{M}(\omega) \rho_3 R_{13} R_{23} (1 - W_1^2) (1 + W_3^2) \times$$

$$\times \int_{-\infty}^{\infty} \frac{D_a(x)}{D_g(x)} e^{-\gamma_1(\bar{z}-\bar{H})} H_0^{(2)}(x\bar{r}) x dx, \quad (7)$$

$$\bar{U}_{1\bar{z}}(\omega) = \frac{e^{\gamma G(\bar{z}-\bar{H})}}{2} \bar{M}(\omega) R_{23} K_1^2 (1 + W_3^2) \times \\ \times \int_{-\infty}^{\infty} \frac{(W_2 - \gamma_1) D_a(x)}{D_g(x)} e^{-\gamma_1(\bar{z}-\bar{H})} H_0^{(2)}(x\bar{r}) x dx;$$

$$\bar{P}_2(\omega) = \frac{e^{i\frac{\pi}{2}}}{4} \bar{M}(\omega) P_2 \omega K_1 (1 + W_3^2) \int_{-\infty}^{\infty} \left\{ e^{\mp \gamma_2(\bar{z}-\bar{h})} - \right. \\ \left. - \frac{D_g(x)}{D_g(x)} e^{-\gamma_2 \bar{z}} + \frac{D_s(x)}{D_g(x)} e^{\gamma_2(\bar{z}-\bar{h})} \right\} \frac{x}{\gamma_2} H_0^{(2)}(x\bar{r}) dx, \quad (8)$$

$$\bar{U}_{2\bar{z}}(\omega) = \frac{e^{i\pi}}{4} \bar{M}(\omega) K_1^2 \int_{-\infty}^{\infty} \left\{ (G a^2 \mp \gamma_2) e^{\mp \gamma_2(\bar{z}-\bar{h})} - \right.$$

$$-(G a^2 - \gamma_2) \frac{D_g(x)}{D_g(x)} e^{-\gamma_2 \bar{z}} + (G a^2 + \gamma_2) \frac{D_s(x)}{D_g(x)} e^{\gamma_2(\bar{z}-\bar{h})} \left. \right\} \frac{x}{\gamma_2} H_0^{(2)}(x\bar{r}) dx,$$

в которых введены следующие безразмерные величины:

$$D_a(x) = \operatorname{ch}(\gamma_2 \bar{h}) \left\{ F_1(x) \gamma_2 - b_2^4 G R_{23} \gamma_2 \gamma_p - \right. \\ \left. - \operatorname{th}(\gamma_2 \bar{h}) (F_1(x) G a^2 + b_2^4 \gamma_p R_{23}) \right\},$$

$$D_g(x) = \operatorname{ch}(\gamma_2 \bar{H}) \left\{ \gamma_2 (1 + W_3^2) [R_{13} R_{23} \gamma_p U(x) b_2^4 + \right.$$

$$+ (W_2 - \gamma_1) F_1(x) R_{23} \Big] \Big\} + \sinh(\gamma_2 \bar{h}) \left\{ R_{13} F_1(x) U(x) \times \right. \\ \times (W_3^2 a^2 - \gamma_2^2) - (W_2 - \gamma_1) R_{23}^2 b_2^4 \gamma_t (1 - G^2 \gamma_2^2) + \\ \left. + G(a^2 + \gamma_2^2) \left[R_{13} R_{23} \gamma_t b_2^4 U(x) - (W_2 - \gamma_1) R_{23} F_1(x) \right] \right\},$$

$$D_s(x) = \left\{ R_{13} U(x) (G a^2 - \gamma_2) - (W_2 - \gamma_1) R_{23} (1 + \right. \\ \left. + G \gamma_2) \right\} \left\{ \gamma_2 \cosh(\gamma_2 \bar{h}) \left[F_1(x) - R_{23} \gamma_t G b_2^4 \right] - \right. \\ \left. - \sinh(\gamma_2 \bar{h}) \left[F_1(x) G a^2 + b_2^4 R_{23} \gamma_t \right] \right\},$$

$$D_b(x) = \left\{ F_1(x) (G a^2 + \gamma_2) + R_{23} \gamma_t b_2^4 (1 - G \gamma_2) \right\} \times \\ \times \left\{ \cosh(\gamma_2 [\bar{H} - \bar{h}]) \left[R_{13} U(x) \gamma_2 + R_{23} G \gamma_2 (W_2 - \gamma_1) \right] + \right. \\ \left. + \sinh(\gamma_2 [\bar{H} - \bar{h}]) \left[R_{13} U(x) G a^2 - R_{23} (W_2 - \gamma_1) \right] \right\}, \quad (9)$$

$$U(x) = 1 - W_1^2 - G(W_2 - \gamma_1), \quad F_1(x) = 4x^2 \gamma_t \gamma_t - (2x^2 - b_2^2)^2,$$

$$\gamma_1 = \sqrt{W_2^2 + (x^2 - 1)(1 - W_1^2)} + \frac{\gamma G}{2}, \quad \gamma_1 = \gamma_1 - \frac{\gamma G}{2},$$

$$\gamma_2 = \sqrt{x^2(1 + W_3^2) - a^2}, \quad \gamma_t = \sqrt{x^2 - b_1^2}, \quad \gamma_t = \sqrt{x^2 - b_2^2},$$

$$G = \frac{g}{\omega c_1}, \quad W_1^2 = (\gamma - 1) G^2, \quad W_2 = \frac{(2-\gamma)G}{2},$$

$$W_3^2 = a^2 G^2, \quad a = \frac{c_1}{c_2}, \quad b_1 = \frac{c_1}{c_t}, \quad b_2 = \frac{c_1}{c_t},$$

$$R_{13} = \frac{P_0}{P_3}, \quad R_{23} = \frac{P_2}{P_3}, \quad x = \frac{c_1}{c},$$

$$\bar{z} = z k_1, \quad \bar{r} = r k_1, \quad \bar{h} = h k_1, \quad \bar{H} = H k_1.$$

Здесь $k_1 = \omega/c_1$, ω — циклическая частота, $\bar{M}(\omega)$ — спектр Фурье функции $M(t)$, c — фазовая скорость волн, $H_0^{(2)}(x \bar{r})$ — функция Ханнеля второго рода. В выражениях (8) знаки \mp отвечают значениям $z > h$ (верхний) и $z < h$ (нижний).

Поскольку здесь представляют интерес лишь поверхностные волны, которым соответствуют полисы подынтегральных функций (7), (8), обратимся к анализу дисперсионного уравнения $D_g(x) = 0$, имеющего следующий вид:

$$L_s(x) + \frac{th(\gamma_2 \bar{H})}{\gamma_2 (1 + W_3^2)} \left\{ \frac{R_{13}}{R_{23}} F_1(x) U(x) (W_3^2 a^2 - \gamma_2^2) - \right. \\ \left. - (W_2 - \gamma_1) R_{23} b_2^4 \gamma_t (1 - G^2 \gamma_2^2) + G x^2 (1 + W_3^2) \times \right. \\ \left. \times [L_s(x) - 2(W_2 - \gamma_1) F_1(x)] \right\} = 0,$$
(10)

$$L_s(x) = (W_2 - \gamma_1) F_1(x) + b_2^4 R_{13} \gamma_t U(x).$$

При $H = 0$ из (10) получаем уравнение $L_s(x) = 0$, описывавшее распространение вдоль границы раздела изотермическая атмосфера —

однородное упругое подупространство поверхности волны Стоунли-Шолтэ и волны Рэлея, которая становится поверхностной лишь на частотах ниже критической $\omega < \omega_R$ (см.(I9) в /2/):

$$\omega_R = \frac{g \sqrt{\gamma^2 - 4x_0^2(\gamma-1)}}{2c_1 \sqrt{1-x_0^2}}, \quad (II)$$

где x_0 – корень уравнения $L_s(x) = 0$ при $R_{13} = 0$. При $H \neq 0$, но без учета влияния силы тяжести Земли на динамику водного слоя, из (I0) следует уравнение

$$L_s(x) - th\left(\sqrt{x^2 - a^2} H\right) \left\{ \frac{R_{13}}{R_{23}} \sqrt{x^2 - a^2} U(x) F_i(x) + R_{23} \frac{\delta_e}{\sqrt{x^2 - a^2}} b_2^4 (w_2 - v_1) \right\} = 0, \quad (I2)$$

описывающее дисперсионные свойства поверхностной волны Стоунли-Шолтэ-Лэмба, существующей на границе изотермической атмосферы и океанического волновода на частотах $\omega < \omega_{co}$ (см.(2I), (2I') в /I/):

$$\omega \approx \begin{cases} \frac{c_1}{2H \sqrt{1-a^2}} \left\{ \alpha + \left(\alpha^2 + \frac{4\sqrt{1-a^2} H \omega_L}{c_1} \right)^{1/2} \right\}, & \sqrt{1-a^2} H \ll 1 \\ \omega_L \left/ \left\{ 1 - \frac{2 \exp(-2\sqrt{1-a^2} \omega_L H / c_1)}{1 - \sqrt{1-a^2} \omega_* H / c_1} \right\} \right., & \sqrt{1-a^2} H \gg 1, \end{cases} \quad (I3)$$

где

$$\alpha = \frac{R_{23} b_2^2}{2(1 - b_1^2/b_2^2)} \sqrt{\frac{1 - b_1^2}{1 - a^2}}, \quad (I4)$$

$$\omega_L \approx \frac{g}{2c_1} \frac{2-\gamma}{R_{12}\sqrt{1-a^2}}, \quad \omega_* = \frac{c_1 \alpha}{H\sqrt{1-a^2}}, \quad R_{12} = \frac{P_0}{P_2}, \quad (I4)$$

а также - волны Рэлея, являющейся поверхностной при $\omega < \omega_R$ (II).

По аналогии с /I/, перепишем уравнение (IO) в следующем виде:

$$L_g(x)S_g(x) + \frac{2e^{-2\gamma_2 H_* / G}}{1 + e^{-2\gamma_2 H_* / G}} \left\{ \frac{R_{13}}{R_{23}} F_1(x) U(x) \times \right. \\ \times (W_3^2 a^2 - \gamma_2^2) - (W_2 - \gamma_1) R_{23} \gamma_e b_2^4 (1 - G^2 \gamma_2^2) + \\ \left. + G(a^2 + \gamma_2^2) [R_{13} \gamma_e b_2^4 U(x) - (W_2 - \gamma_1) F_1(x)] \right\} = 0, \quad (I5)$$

$$L_g(x) = (W_2 - \gamma_1)(1 - \gamma_2 G) - R_{12} U(x) (\gamma_2 + G a^2),$$

$$S_g(x) = R_{23} \gamma_e b_2^4 (1 + \gamma_2 G) - (\gamma_2 - G a^2) F_1(x),$$

$$H_* = H \frac{g}{c_1^2}.$$

В высокочастотном диапазоне $\gamma_2 \bar{H} \gg 1$ из (I5) следуют два дисперсионных уравнения. Во-первых, $L_g(x) = 0$ (см. (I3) в /3/), описываемое дисперсионные свойства гидродинамической поверхности волны и поверхностной модифицированной волны Лэмба, распространяющейся вдоль границы изотермической атмосферы с "тяжелой" сжимаемой жидкостью и существующей в диапазоне частот $\omega < \omega_L$ (см. (I4)). Во-вторых, $S_g(x) = 0$, которое обобщает известное уравнение Стоунли $R_{23} b_2^4 \gamma_e - \sqrt{x^2 - a^2} F_1(x) = 0$ /6/ и описывает распространение вдоль границы раздела "тяжелой" сжимаемой жидкости и однородного упругого полупространства поверхности с

волны Стоунли-Шолтса ($C_2 < C_t$) и волны Рэлея, являющейся поверхностной на частотах ниже критической $\omega < \omega_r$:

$$\omega_r \approx \frac{g}{C_2} \sqrt{\frac{C_t}{C_2} - 1}. \quad (I6)$$

Выражение для ω_r (I6) находится из условия $\gamma_2^2 \geq 0$, аналогичного $\gamma_1^2 \geq 0$ при определении критической частоты ω_k (II) для поверхностной волны Рэлея на границе атмосферы и упругого полу-пространства.

Таким образом, уже из предварительного и достаточно общего анализа дисперсионного уравнения, записанного в виде (I0) и (I5), можно сделать вывод, что в рассматриваемой системе должны существовать гидродинамическая (гравитационная) поверхностная волна, а также поверхностные волны Рэлея на частотах $\omega < \omega_k$ и Стоунли-Шолтса при $\omega \leq \omega_c$. Очевидно, что $\omega \rightarrow \infty$ при $H = 0$, так как в предельной ситуации $H = 0$ поверхностная волна Стоунли-Шолтса, распространяющаяся вдоль границы изотермическая атмосфера – однородное упругое полупространство, существует во всем диапазоне частот $0 < \omega < \infty$. Естественно предположить также, что в области высоких частот $\gamma_2 H \gg 1$ возможно не учитывать влияние силы тяжести на динамику жидкости и воспользоваться приближенным выражением (I3) для $\omega_c \approx \omega_{co}$, из которого при $H \rightarrow \infty$ получаем асимптотику $\omega_c \rightarrow \omega_L$. Заметим, что в отсутствие влияния силы тяжести Земли ($g = 0$, $\omega_L = 0$) поверхностная волна Стоунли-Шолтса существует при $\omega < \omega_k$ (I4), что не было учтено в [7] при определении акустической энергии, излучаемой в атмосферу подводным землетрясением.

Приведенные на рис. I, 2 результаты расчетов подтверждают сделанные на основе приближенного анализа выводы относительно дисперсионных свойств поверхностной волны в рассматриваемой системе, являющейся на низких частотах аналогом волны Стоунли-Шолтса $L_s(x) = 0$, которая распространяется с уменьшающейся с понижением частоты дозвуковой скоростью, а на высоких – аналогом модифицированной волны Лэмба $L_g(x) = 0$, сверхзвуковая (по отношению к C_1) скорость которой возрастает с уменьшением частоты.

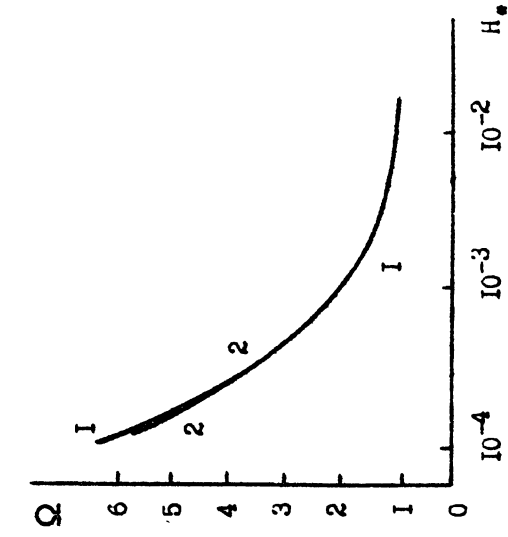


Рис.1. Зависимость отношения критических частот $\Omega = \omega_c / \omega_L$ от безразмерной толщины водного слоя $H_* = Hq / C_t^2$ при $C_t^1 = 340 \text{ м/с} - 1$ и $C_t^2 = 280 \text{ м/с} - 2$.

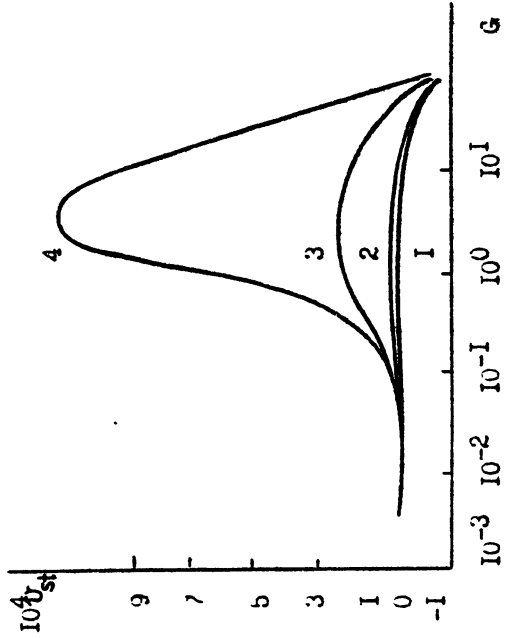


Рис.2. Зависимость дисперсионной добавки $U_{st}^4 = \frac{C_t}{C_1}$ от фазовой скорости распространения поверхности волн Стоуна-Шолтэ-Дэмбса от безразмерного параметра $G_* = q / \omega c_1$, для различных глубин океана:
 $H = 10^{2\text{m}} - 1$, $H = 10^{3\text{m}} - 2$, $H = 5 \cdot 10^{3\text{m}} - 3$,
 $H = 10^{4\text{m}} - 4$; $C_1 = 340 \text{ м/с}$, $C_2 = 1,5 \cdot 10^3 \text{ м/с}$,
 $C_t = 2,4 \cdot 10^3 \text{ м/с}$, $C_0 = 4 \cdot 10^3 \text{ м/с}$, $R_{13} = R_{23} \cdot 10^{-3}$,
 $R_{23} = 1/3$, $\gamma = 1,4$.

Естественно ожидать, что в поведении частотных зависимостей фазовых скоростей волн и их коэффициентов возбуждения будут наблюдаться закономерности, предсказываемые на основе более простых моделей /1, 3/, однако анализ показал существование и определенных отличий, причем некоторые из них можно установить с использованием довольно грубых оценок. Сказанное прежде всего касается поверхностной гидродинамической волны. Действительно, без учета влияния атмосферы и в предположении абсолютно жесткого дна, для скорости распространения C_G гидродинамической поверхностной волны справедливо соотношение (см./8/)

$$\frac{C_G}{C_1} = G \operatorname{th}\left(\frac{H}{C_a} \frac{C_1}{C_G}\right). \quad (I7)$$

Такая волна не может возбуждать акусто-гравитационные волны в атмосфере, однако на определенных частотах могут выполняться условия возбуждения внутренних гравитационных волн (см./9/. Согласно /9/, в принятых здесь обозначениях, это условие излучения можно записать в следующем виде:

$$\left(\frac{\frac{C_G^{-2}}{C_1^{-2}} + \frac{\gamma^2}{4} G^2}{4} \right) \left\{ 1 - \sqrt{1 - 4W_1^2} \left/ \left(1 + \frac{\gamma^2}{4} G^2 \frac{C_G^2}{C_1^2} \right)^2 \frac{C_1^2}{C_G^2} \right. \right\} \cong 2, \quad (I8)$$

при выполнении которого скорость распространения гидродинамической волны будет меньше скорости распространения внутренней гравитационной волны в атмосфере. С использованием (I7) из (I8) в высокочастотном диапазоне $G \ll I$ находим условие $W_1^2 \cong 1$, которое противоречит исходному предположению $W_1^2 \ll 1$ при $G \ll I$; следовательно, переизлучение энергии в атмосферу этой волной в рассматриваемом диапазоне частот отсутствует, и она остается поверхностью. В низкочастотном диапазоне $G \gg I$ находим условие $\frac{gH}{C_1^2} \leq 4(\gamma - 1)/\gamma^2$, из которого следует, что излучение на низких частотах возможно лишь при глубине океана H , которая меньше определенной $H \leq H_W = \frac{4(\gamma - 1)}{\gamma^2} \frac{C_1^2}{g}$, равной при $C_1 = 340$ м/с значению $H_W \approx 9,6$ км. Естественно, что при $H > H_W$ гидродинамическая волна во всем диапазоне частот будет ос-

таваться непереизлучающей (поверхностной) волной. При чутк большей глубине океана $H > C_s^2/q$, ее частотная зависимость фазовой скорости будет пересекаться на определенной резонансной частоте $\omega = \omega_p$ с аналогичной зависимостью для $C_{st}(\omega)$, отвечающей модифицированной поверхностью волн Стоунли-Шолтэ-Лэмба. При реально возможных глубинах океана $H \leq 10$ км пересечения частотных зависимостей фазовых скоростей соответствующих поверхности и волн будут иметь место лишь при довольно низких значениях скорости звука $C_s < 300$ м/с, которые возможны лишь в зимнее время года при пониженных температурах воздуха. Кроме того, влияние ветра приведет также к заметному уменьшению эффективной скорости звука в направлении, противоположном преобладающему направлению воздушного потока, вследствие чего обсуждаемые здесь особенности в поведении $C_{st}(\omega)$ и $C_G(\omega)$ будут наблюдаться лишь в узком диапазоне азимутальных углов.

Приведенные на рис. 2-5 результаты численных расчетов зависимостей $C_{st}(\omega)$, $C_G(\omega)$ и фазовой скорости волны Рэлея $C_R(\omega)$ с использованием (10) в основном подтверждают выводы качественного анализа уравнений (10), (15), хотя имеются и некоторые отличия. Во-первых, в говедении зависимости $C_G(\omega)$ обнаружено существование максимума, отвечающего значению $C_G \approx \sqrt{gH}$, на сверхнизкой частоте $\phi = \phi_G \approx 1,1 \cdot 10^{-3}$ Гц (см.рис.4); уменьшение же C_G на более низких частотах $\phi < \phi_G$ приводит к повторному пересечению зависимостей $C_{st}(\omega)$ и $C_G(\omega)$ на дополнительной резонансной частоте $\omega_p \approx 2,5 \cdot 10^{-2} \sqrt{g/C_s}$ ($\phi_p \approx 1,4 \cdot 10^{-4}$ Гц), ниже которой вновь наблюдается изменение знака у дисперсионной добавки к скорости распространения поверхности волны Стоунли-Шолтэ-Лэмба (см.рис.3). Во-вторых, замеченено (см.рис.5), что влияние силы тяжести Земли на динамику жидкости приводит к появлению частоты $\phi_N \approx (8,7+5,9) \cdot 10^{-4}$ Гц при $C_s = 280$ м/с + 340 м/с, на которой скорость распространения поверхности волны Рэлея не зависит от глубины океана H ; причем с ростом H скорость $C_R(\omega)$ увеличивается на более низких $\omega < \omega_N$ и уменьшается на более высоких $\omega > \omega_N$ частотах.

Обратимся теперь к анализу частотных зависимостей коэффициентов возбуждения поверхностных волн в атмосфере. Как и в /1, 3/, с использованием теории вычетов из (7) можно получить для

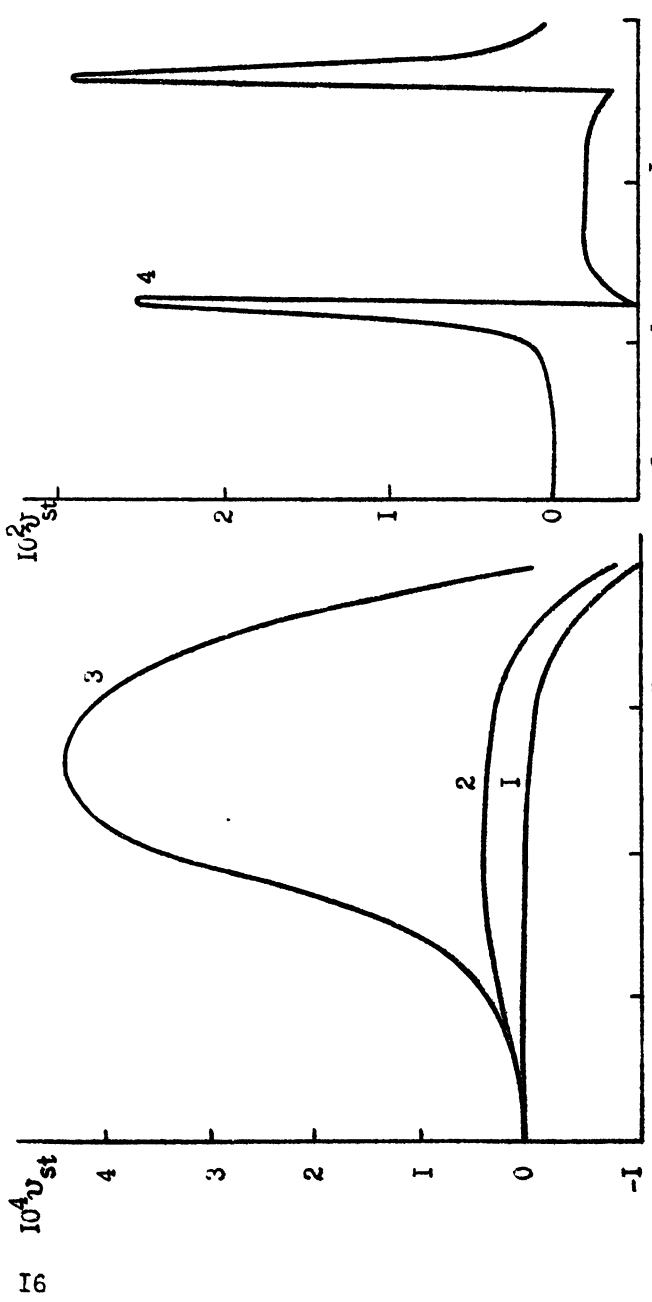


Рис.3. Зависимость дисперсионной добавки $U_{st}^4 = \frac{C_{st}}{C_1} - 1$
к фазовой скорости распространения поверхностной волны Стоуни-Шолтэ-Лэмбса
от безразмерного параметра $G = \frac{q}{\omega C_1}$ для различных глубин океана:
 $H = 10^2 M - 1$, $H = 10^4 M - 2$, $H = 5 \cdot 10^4 M - 3$, $H = 10^4 M - 4$; $C_1 = 280$ м/с.

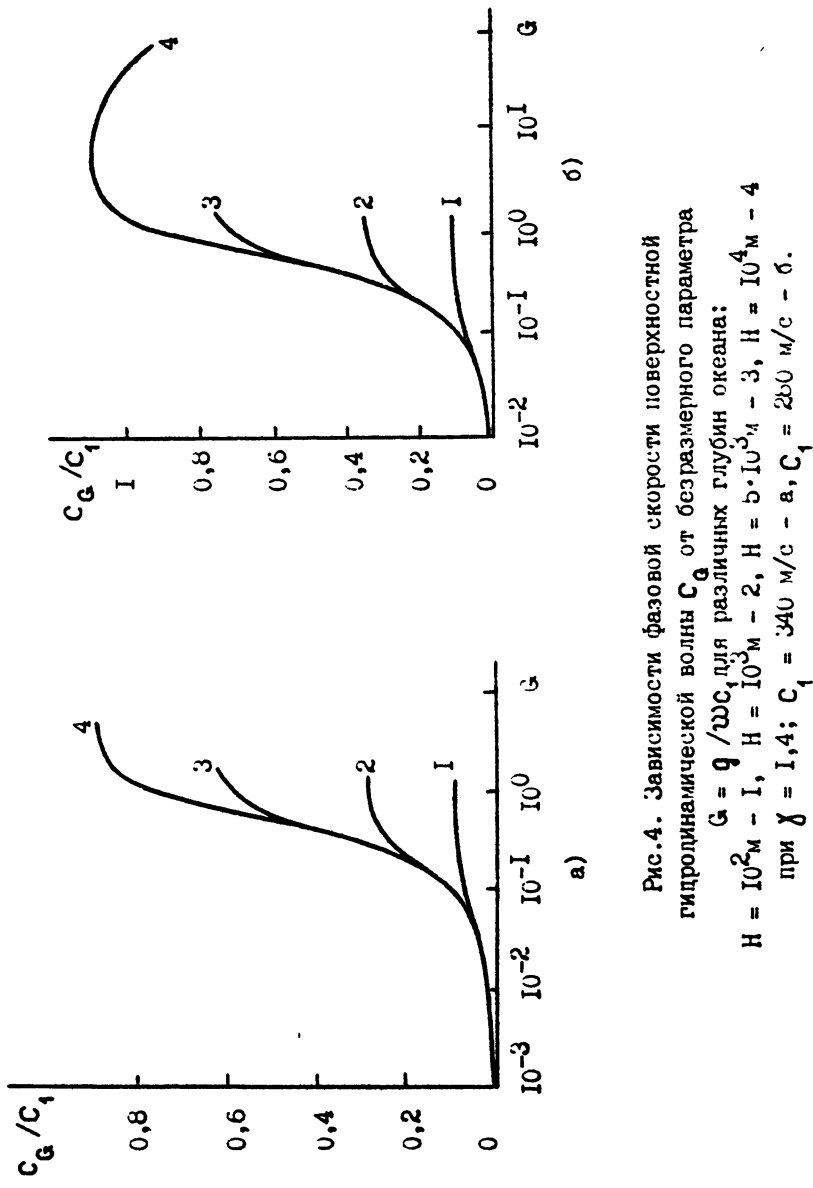


Рис.4. Зависимости фазовой скорости поверхности гидродинамической волны C_g от безразмерного параметра $G = \frac{q}{\omega C_1}$ для различных глубин океана:
 $H = 10^2 M - 1$, $H = 10^3 M - 2$, $H = 5 \cdot 10^3 M - 3$, $H = 10^4 M - 4$
при $\delta = 1/4$; $C_1 = 340 \text{ м/с} - a$, $C_1 = 250 \text{ м/с} - b$.

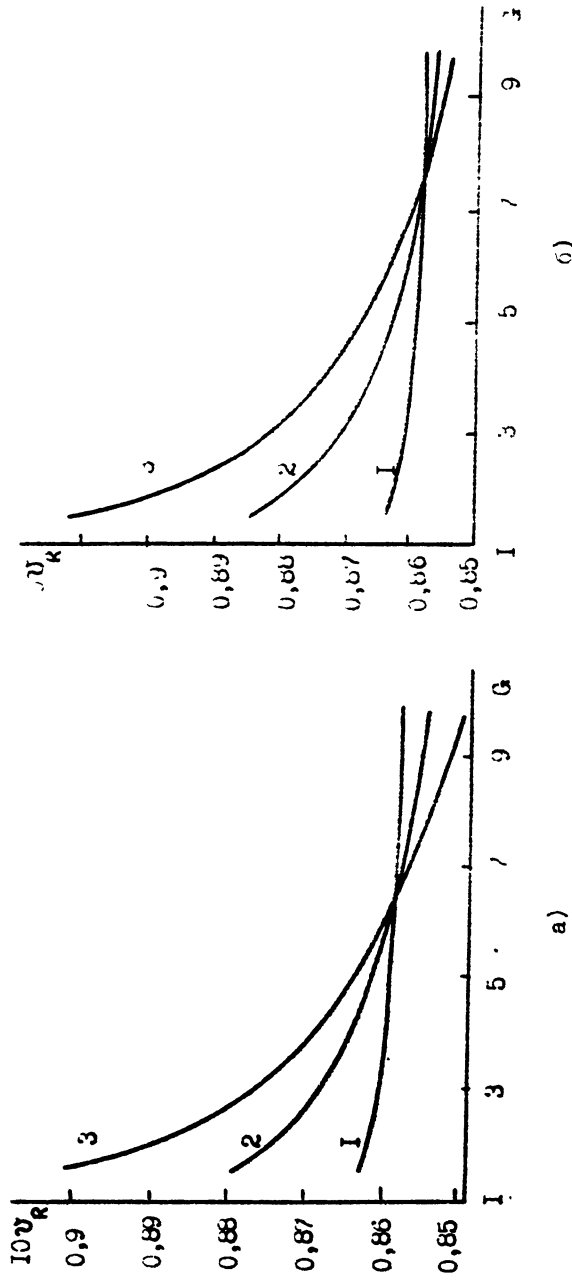


Рис.5. Зависимости линсерационной добавки $v_R = 1 - C_R/C_t$ от скорости распространения поверхности волны Рэлея $10v_R$ в зависимости от параметра $\zeta = q/\omega C_1$, для различных глубин океана: $H = 10^3 \text{ м} - 1$, $H = 5 \cdot 10^3 \text{ м} - 2$, $H = 10^4 \text{ м} - 3$;
 $C_1 = 340 \text{ м/с} - a$, $C_1 = 280 \text{ м/с} - b$.

a)

б)

$\bar{P}_1(\omega)$ и $\bar{U}_{1z}(\omega)$ следующие выражения:

$$\bar{P}_1(\omega) = -\frac{\sqrt{2\pi g^3/r} \bar{M}(\omega) p_3 R_{13} R_{23}}{C_1^2} K_p(\omega) e^{-i(x\bar{r} - \frac{\pi}{4})}, \quad (19)$$

$$\bar{U}_{1z}(\omega) = -\frac{\sqrt{2\pi g^3/r} \bar{M}(\omega) R_{23}}{C_1^3} K_u(\omega) e^{-i(x\bar{r} - \frac{3\pi}{4})},$$

в которых коэффициенты возбуждения $K_p(\omega)$ и $K_u(\omega)$ имеют вид:

$$K_p(\omega) = \frac{(1-W_1^2)(1+W_3^2)}{G^{3/2} \Phi(x)} \sqrt{x} D_a(x) e^{-\gamma_1(\bar{z}-\bar{H})}, \quad (20)$$

$$K_u(\omega) = (W_2 - \gamma_1) K_p(\omega) e^{\gamma G(\bar{z}-\bar{H})} / (1 - W_1^2).$$

В (20) использованы следующие обозначения:

$$\Phi(x) = \operatorname{ch}(\gamma_2 \bar{H}) A_1 + \operatorname{sh}(\gamma_2 \bar{H}) A_2,$$

$$A_1 = x(1+W_3^2)^2 R_{23} \left\{ R_{13} \gamma_2 b_2^4 U(x) + (W_2 - \gamma_1) F_1(x) \right\} \times$$

$$\times \left\{ \bar{H} \operatorname{th}(\gamma_2 \bar{H}) + \frac{1}{\gamma_2} \right\} + \gamma_2 R_{23} (1+W_3^2) \left\{ R_{13} \frac{x}{\gamma_2} U(x) \times \right.$$

$$\times \left. b_2^4 + \frac{x(1-W_1^2)}{\gamma_1} (R_{13} \gamma_2 G - F_1(x)) + F_2(x)(W_2 - \gamma_1) \right\} +$$

$$+ \frac{x \bar{H}(1+W_3^2)}{\gamma_2} \left\{ R_{13} F_1(x) U(x) (W_3^2 a^2 - \gamma_2^2) - (W_2 - \gamma_1) \times \right.$$

$$\times R_{23}^2 \beta_2^4 \gamma_e (1 - G^2 \gamma_2^2) + G(a^2 + \gamma_2^2) A_3 \Big\},$$

$$\begin{aligned}
 A_2 = & R_{13} \left\{ F_2(x) U(x) (W_3^2 a^2 - \gamma_2^2) + x F_1(x) \right. \\
 & \times \left. \left(\frac{G(1-W_1^2)}{\gamma_1} (W_3^2 a^2 - \gamma_2^2) - 2U(x)(1+W_3^2) \right) \right\} + \\
 & + R_{23}^2 x \left\{ \beta_2^4 \gamma_e (1 - G^2 \gamma_2^2) \frac{1 - W_1^2}{\gamma_1} - (W_2 - \gamma_1) \beta_2^4 \right. \\
 & \times \left. \left(\frac{1 - G^2 \gamma_2^2}{\gamma_e} - 2\gamma_e G^2 (1 + W_3^2) \right) \right\} + 2xG(1+W_3^2) A_3 + \\
 & + G(a^2 + \gamma_2^2) R_{23} \left\{ R_{13} \frac{x}{\gamma_e} \beta_2^4 U(x) + R_{13} \beta_2^4 \frac{xG}{\gamma_1} \right. \\
 & \times \left. (1 - W_1^2) + \frac{x(1 - W_1^2)}{\gamma_1} F_1(x) - (W_2 - \gamma_1) F_2(x) \right\},
 \end{aligned}$$

$$A_3 = R_{23} \left\{ R_{13} \gamma_e \beta_2^4 U(x) - (W_2 - \gamma_1) F_1(x) \right\},$$

$$F_2(x) = 8x \left\{ \gamma_e \gamma_t - 2x^2 + \beta_2^2 + \frac{x^2}{2} \left(\frac{\gamma_t}{\gamma_e} + \frac{\gamma_e}{\gamma_t} \right) \right\}.$$

При определении зависимостей $K_p(\omega)$ и $K_u(\omega)$ для существующих в рассматриваемой системе поверхностных волн достаточно в (20) подставить соответствующие решения дисперсионного уравнения (10). Следует отметить, что при возможном пересечении зависимостей $C_{st}(\omega)$ и $C_G(\omega)$ на соответствующих (двух) резонансных частотах ω_p (см.рис.3) в (7) появляются полюса второго порядка, поэтому для определения величин $K_p(\omega_p)$ и

$K_u(\omega_p)$ при $x_{st} = \frac{C_1}{C_{st}(\omega_p)} = x_G = \frac{C_1}{C_G(\omega_p)}$ необходимо воспользоваться более сложными зависимостями, которые приведем здесь, не расписывая производной по x :

$$K_p(\omega_p) = \frac{(1 - W_1^2)(1 + W_3^2)}{G^{3/2}} e^{ix\bar{r}} \lim_{x \rightarrow x_{st}} \frac{d}{dx} \left\{ \frac{\sqrt{x} D_a(x)}{D_g(x)} \cdot \right.$$

$$\left. \times (x - x_{st})^2 e^{-ix\bar{r} - \gamma_1(\bar{z} - \bar{H})} \right\},$$

(2I)

$$K_u(\omega_p) = \frac{1 + W_3^2}{G^{3/2}} e^{ix\bar{r} + \gamma g z / C_1^2} \lim_{x \rightarrow x_{st}} \frac{d}{dx} \left\{ \frac{\sqrt{x} D_a(x)}{D_g(x)} \cdot \right.$$

$$\left. \times (x - x_{st})^2 (W_2 - \gamma_1) e^{-ix\bar{r} - \gamma_1(\bar{z} - \bar{H})} \right\}.$$

Из приведенных на рис. 6-II результатов численных расчетов в зависимостях $K_p(\omega)$ и $K_u(\omega)$ с использованием выражений (20), (2I) можно сделать следующие выводы. Во-первых, как и следовало ожидать из анализа поведения фазовых скоростей $C_{st}(\omega)$ и $C_G(\omega)$ (см. рис. 2-4), при низкой скорости звука в атмосфере в коэффициентах возбуждения поверхностной волны Стоуни-Шолтэ-Лэмба появляются два дополнительных максимума на соответствующих резонансных частотах, причем заметнее всего выделен резонансный максимум на более высокой резонансной частоте (см. рис. 7, 8). Во-вторых, аналогичное, но менее выраженное поведение коэффициентов возбуждения наблюдается и для гидродинамической поверхностной волны (см. рис. 10), причем резонансные максимумы не являются в этом случае преобладающими по сравнению с основным. В-третьих, даже при максимально возможном значении скорости звука в атмосфере, когда отсутствуют пересечения зависимостей $C_{st}(\omega)$ и $C_G(\omega)$, т.е. нет

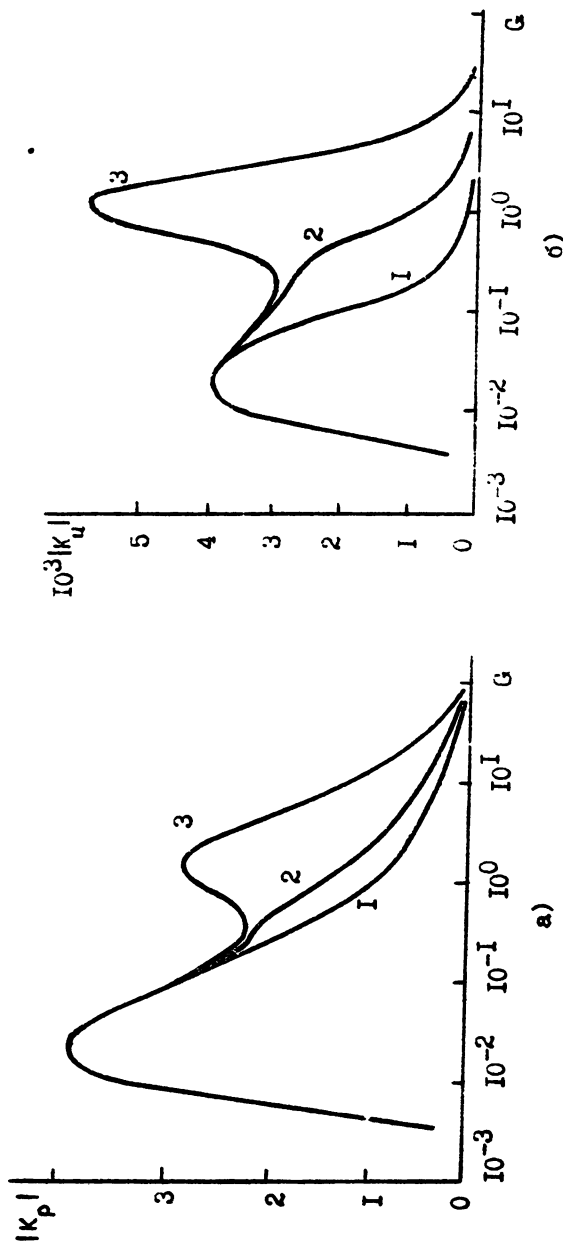


Рис. 6. Зависимости коэффициентов возбуждения для давления $|K_p|$ – (а) и вертикальной компоненты скорости смещения частиц среды $|K_u|$ – (б) в поверхностной волне Стоунли–Шолте–Лэмба от безразмерного параметра $G = g/\omega C_1$ при различных глубинах океана: $H = 10^3 M - 1$, $H = 5 \cdot 10^3 M - 2$, $H = 10^4 M - 3$; $C_1 = 340 \text{ м/с}$, $\gamma = 1,4$; $h_r = z - H = 0$, $h_s = H - h = 75 \text{ м}$.

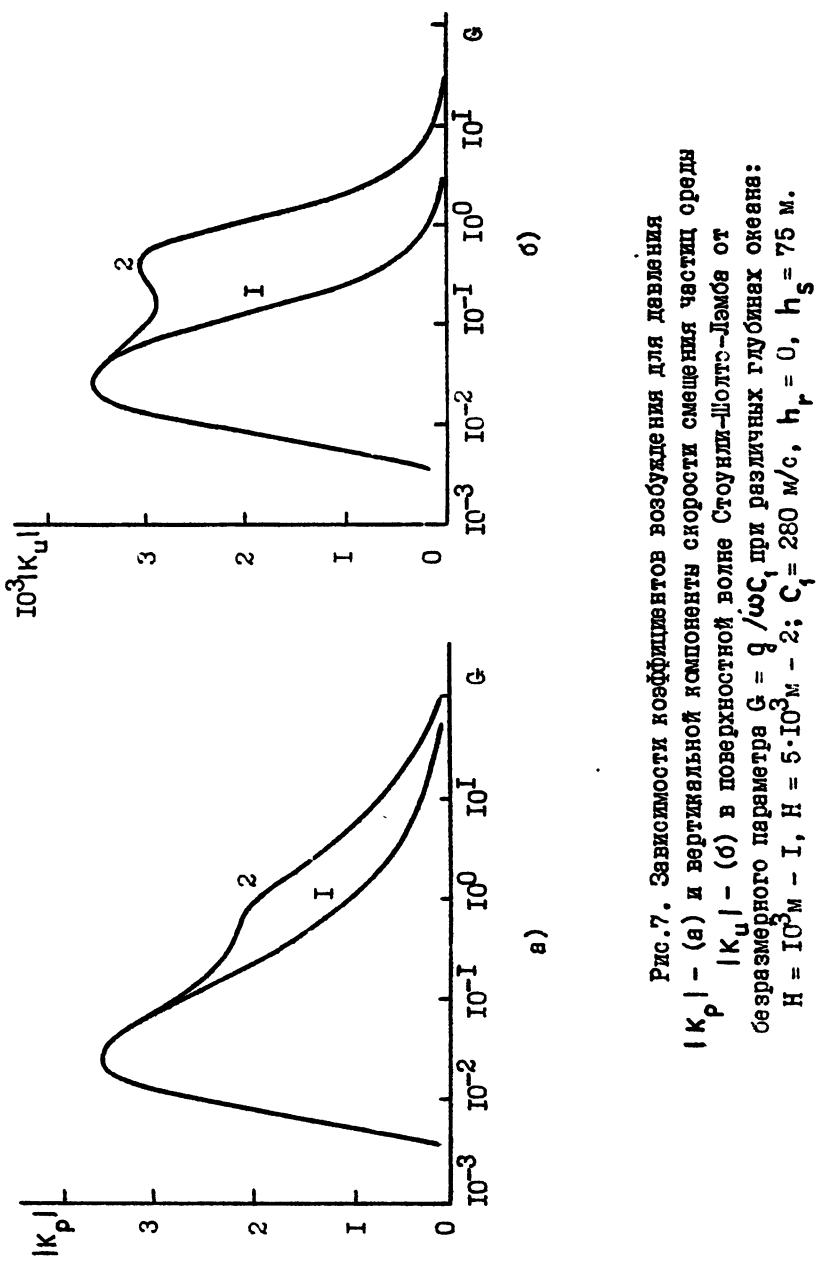


Рис.7. Зависимости коэффициентов возбуждения для давления
 $|K_p|$ - (а) и вертикальной компоненты скорости смещения частиц ордена
 $|K_u|$ - (б) в поверхностной волне Стоуна-Шолто-Ламба от
 бесразмерного параметра $G = q / \omega C_1$ при различных глубинах океана:
 $H = 10^3 M - 1$, $H = 5 \cdot 10^3 M - 2$; $C_1 = 280 \text{ м/с}$, $h_r = 0$, $h_s = 75 \text{ м}$.

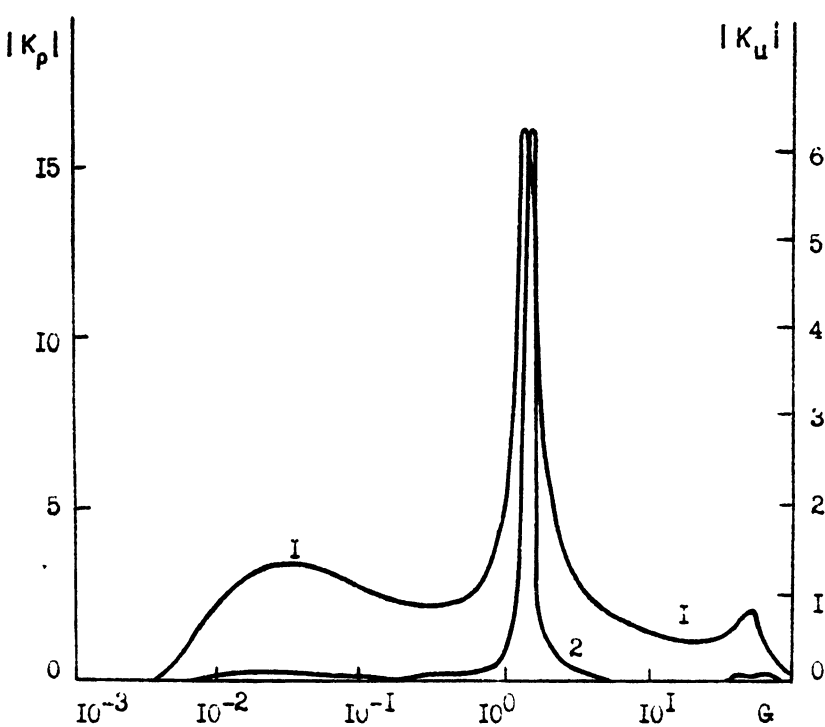


Рис.8. Зависимости коэффициентов возбуждения для давления $|K_p|$ - 1 и вертикальной компоненты скорости смещения частиц среды $|K_u|$ - 2 в поверхностной волне Стоунли-Шолтэ-Лэмба от безразмерного параметра $G = g/\omega C_1$, при $H = 10^4$ м, $C_1 = 280$ м/с, $h_r = 0$, $h_s = 75$ м.

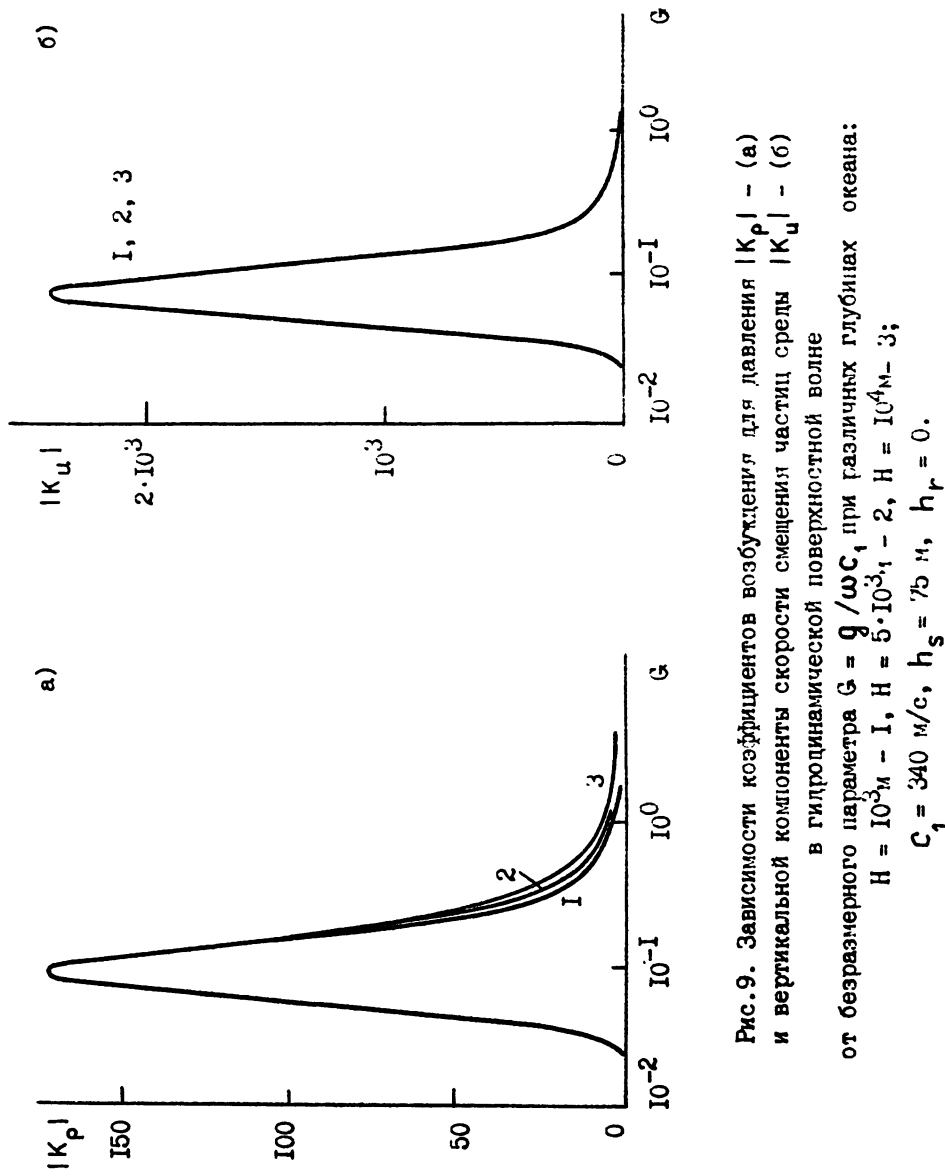


Рис.9. Зависимости коэффициентов возбуждения для давления $|K_p|$ - (а)
и вертикальной компоненты скорости смещения частиц срецы $|K_u|$ - (б)
в гидродинамической поверхности волне
от безразмерного параметра $G = \frac{g}{\omega} C_1$ при различных глубинах океана:
 $H = 10^3$ м - 1, $H = 5 \cdot 10^3$ м - 2, $H = 10^4$ м - 3;
 $C_1 = 340$ м/с, $h_s = 75$ м, $h_r = 0$.

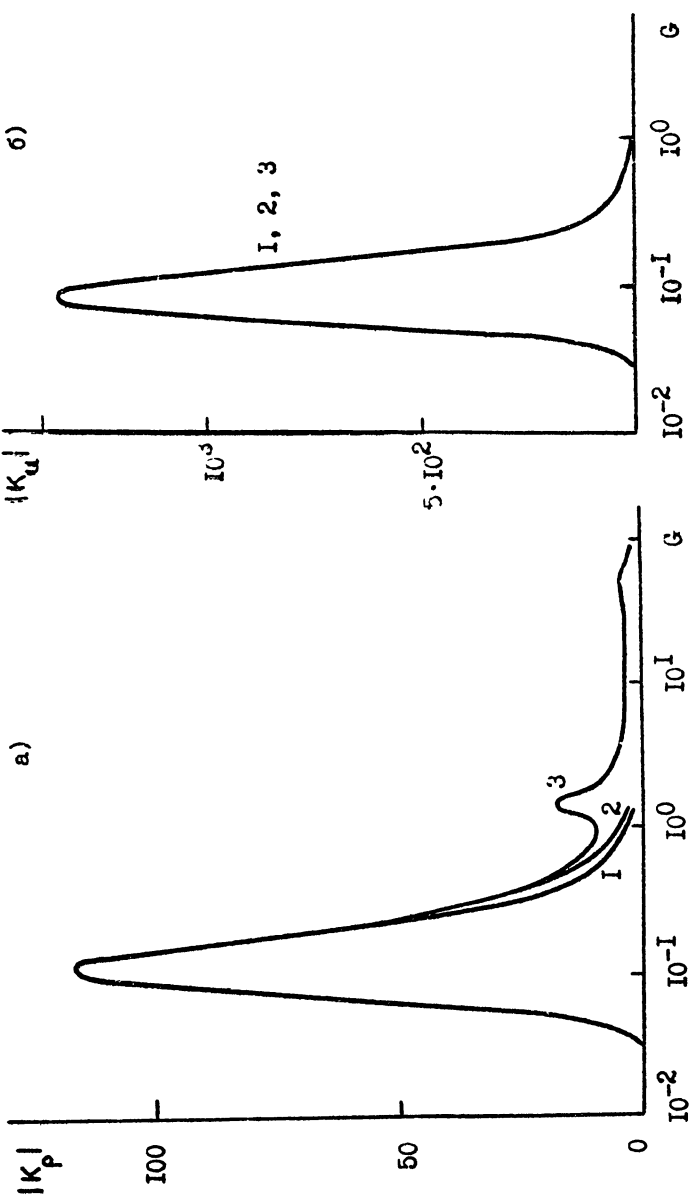
а)

 $|K_p|$

100

50

0



б)

 $|K_u|$ 10^3 $5 \cdot 10^2$

0

 $10^{-2} \quad 10^{-1} \quad G \quad 10^0 \quad 10^{-1}$

3

2

1

 $10^0 \quad 10^1 \quad G \quad 10^{-1} \quad 10^{-2}$

Рис.10. Зависимости коэффициентов возбуждения для давления $|K_p|$ - (а)
и вертикальной компоненты скорости смещения частиц среды $|K_u|$ - (б)

в гидродинамической поверхности волн в
от безразмерного параметра $G = g / \omega c_1$ при различных глубинах скважины:
 $H = 10^5 m - 1$, $H = 5 \cdot 10^5 m - 2$, $H = 10^6 m - 3$; $c_1 = 280 m/s$.

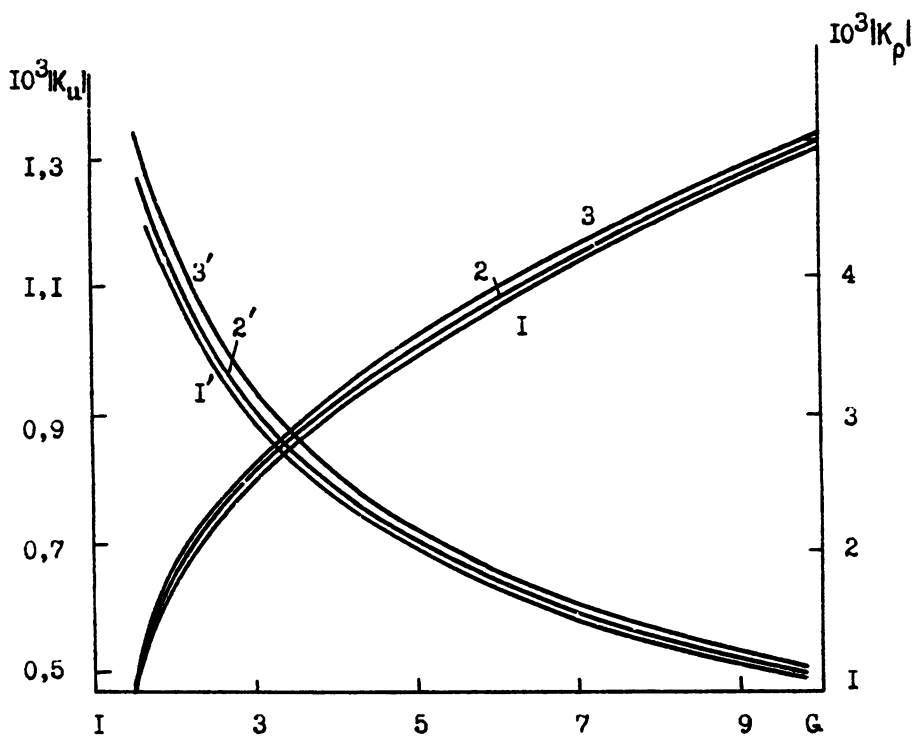


Рис. II. Зависимости коэффициентов возбуждения для давления $|K_p|$ (кривые I, 2, 3) и вертикальной компоненты скорости смещения частиц среды $|K_u|$ (кривые I', 2', 3')

в поверхностной волне Рэлея от безразмерного параметра $G = g / (\omega c_1)$
при $C_1 = 340 \text{ м/с}$ для глубин океана: $H = 10^3 \text{ м} - 1$,
 $H = 5 \cdot 10^3 \text{ м} - 2$; $H = 10^4 \text{ м} - 3$.

двукиратных корней дисперсионного уравнения (10), все же при определенных глубинах океана, из-за малых отличий в значениях $C_{st}(\omega)$ и $C_G(\omega)$ вблизи высокой резонансной частоты $\omega_p \approx g/C_1$, в коэффициентах возбуждения $K_p(\omega)$ и $K_u(\omega)$ поверхностной волны Стоунли-Шолтэ-Лэмба появляется по одному максимуму, причем в $K_u(\omega)$ соответствующий максимум $K_u(\omega_p)$ преобладает над основным (см.рис.6). В-четвертых, в рассматриваемой модели коэффициент возбуждения давления в поверхностной волне Рэлея возрастает с понижением частоты в соответствующем диапазоне изменения безразмерного параметра G (см.рис.II), в отличие от частотной зависимости $K_p(\omega)$ для волны Рэлея в аналогичной системе, но без учета действия силы тяжести в жидкости, для которой характерно существование максимума, выделенного при достаточно больших глубинах водного слоя.

Таким образом, учет влияния силы тяжести Земли за динамику водного слоя океана существенно изменяет частотные зависимости и фазовых скоростей и коэффициентов возбуждения поверхностных волн Стоунли-Шолтэ-Лэмба и Рэлея.

ЛИТЕРАТУРА

1. Гасилова Л.А., Гордеева И.Ю., Петухов Ю.В. Атмосферная поверхностная волна Стоунли-Шолтэ-Лэмба//Препринт № 337. - Н. Новгород: НИРФИ, 1991. - 21 с.
2. Петухов Ю.В. К теории поверхностных волн, распространяющихся вдоль границы раздела Земля - атмосфера//Препринт № 325. - Н. Новгород: НИРФИ, 1991. - 15 с.
3. Гасилова Л.А., Гордеева И.Ю., Петухов Ю.В. Возбуждение волны Лэмба в атмосфере подводным источником//Препринт № 326. - Н. Новгород: НИРФИ, 1991. - 15 с.
4. Осташев В.Е. Уравнение для акустических и гравитационных волн в стратифицированной движущейся среде//Акуст. журн. - 1987. - Т.33, № 1. - С.150-152.
5. Ewing W.M., Jardetzky W.S., Press F. *Elastic waves in layered media*. New York: McGraw-Hill, 1957, 580 P.
6. Браховских Л.М. Волны в слоистых средах. - М.: Наука, 1973.- 343 с.

7. Вдовиченко С.П., Заславский Ю.М. Излучение звука в атмосфере при подводном землетрясении//Изв.АН СССР. ФАО. - 1985. - - Т.21, № 7. - С.714-719.
8. Лайтхилл Дж. Волны в жидкостях. - М.: Мир, 1981. - 598 с.
9. Голицын Г.С., Кляцкин В.И. Колебания в атмосфере, вызываемые движениями земной поверхности//Изв.АН СССР. ФАО. - 1967. - - Т.3, № 10. - С.1044-1052.

Дата поступления статьи
20 октября 1922 г.